



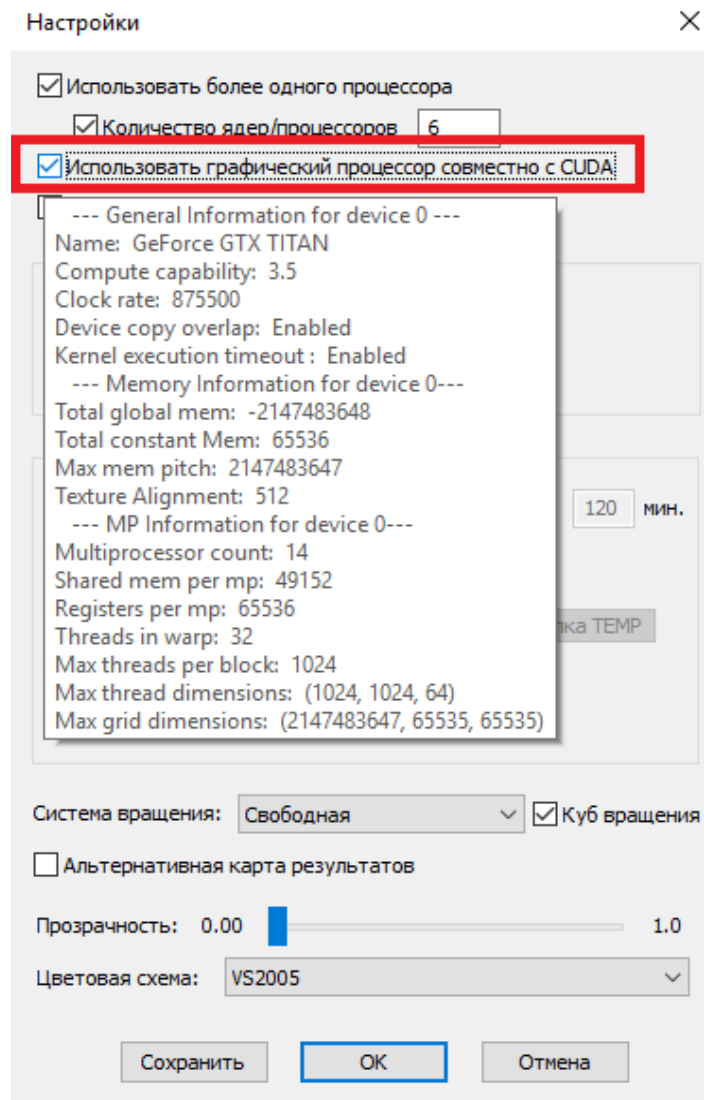
**Применение технологии CUDA (NVIDIA)
в программных модулях НТЦ «АПМ»**

Программно-аппаратная технология CUDA

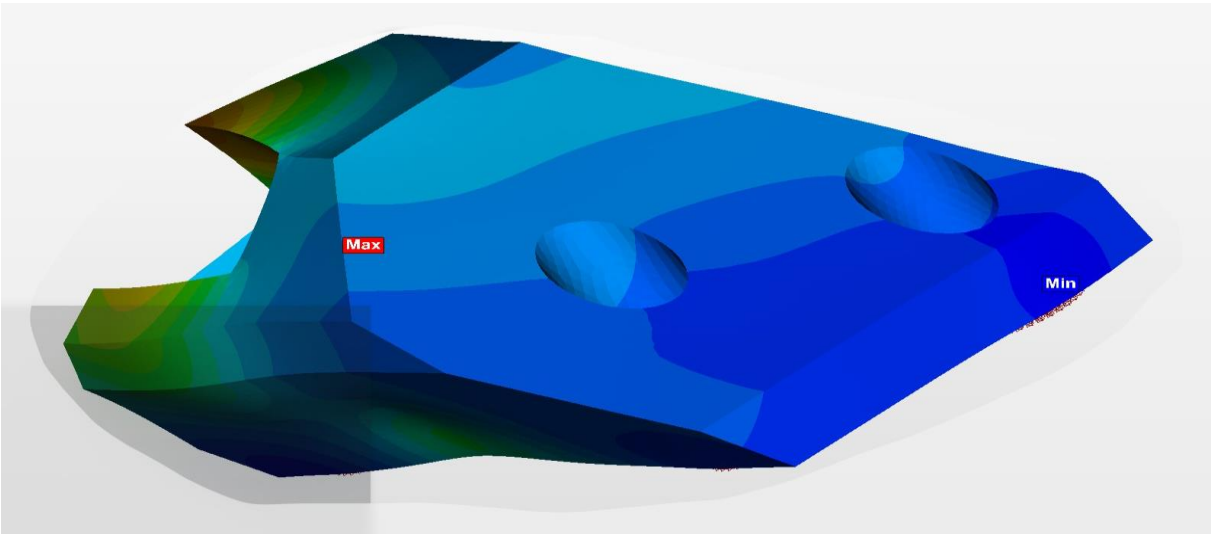
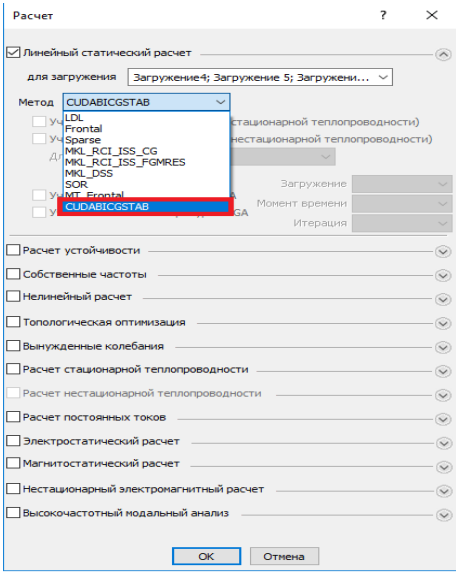
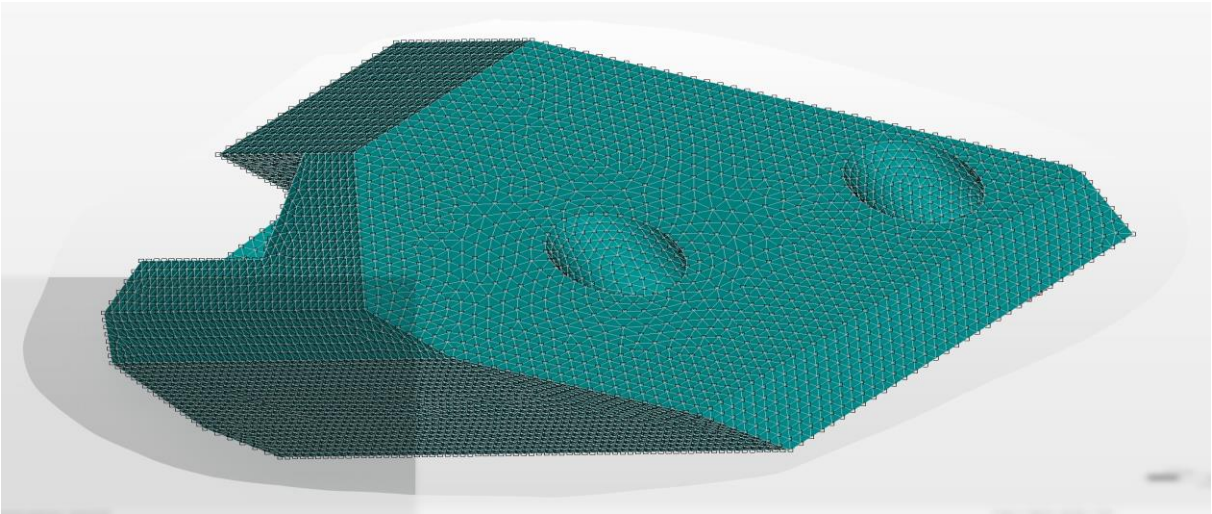
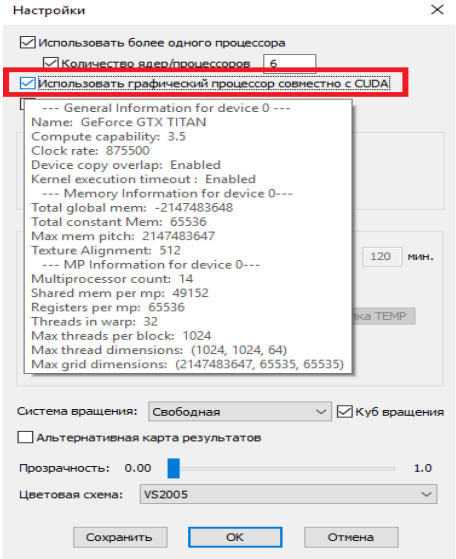


Работает только на видеокартах фирмы NVIDIA, начиная с архитектуры Kepler

Определение доступности CUDA



Статический расчет с несколькими нагрузками



Статический расчет с несколькими нагрузками

Решение задачи с несколькими нагрузками:

$$\begin{matrix} [K] & [X] & = & [F] \\ N \times N & N \times M & & N \times M \end{matrix} \quad (1)$$

Для ускорения сходимости применяется предобусловливание:

$$[M][K]\{X_j\} = [M]\{F_j\}, \quad (2)$$

$$[M] = [L][U]$$

Стабилизированный метод бисопряженных градиентов с предобусловливанием:

1. Выбрать начальное приближение x_0 , вычислить $r_0 = b - A x_0$
2. Выбрать вектор \tilde{r} , удовлетворяющий условию $(r_0, \tilde{r}) \neq 0$ (например, $\tilde{r} = r_0$)
3. Для $i = 1, 2, \dots$ до сходимости или до N_H^{max}
4. $\rho_{i-1} = (\tilde{r}, r_{i-1})$
5. Если $\rho_{i-1} = 0$
6. то метод не может решить данную систему
7. Если $i = 1$
8. $p_i = r_{i-1}$
9. Иначе
10. $\beta_{i-1} = (\rho_{i-1} / \rho_{i-2}) (\alpha_{i-1} / \omega_{i-1})$
11. $p_i = r_{i-1} + \beta_{i-1}(p_{i-1} - \omega_{i-1} v_{i-1})$
12. Найти \tilde{p} из системы $M \tilde{p} = p_i$
13. $v_i = A \tilde{p}$
14. $\alpha_i = \rho_{i-1} / (\tilde{r}, v_i)$
15. $s = r_{i-1} - \alpha_i v_i$
16. Если $\|s\|_2 / \|r_0\|_2 \leq Tol$
17. то КОНЕЦ ($x_i = x_{i-1} + \alpha_i \tilde{p}$ – полученное решение)
18. Найти \tilde{s} из системы $M \tilde{s} = s$
19. $t = A \tilde{s}$
20. $\omega_i = (t, s) / (t, t)$
21. $x_i = x_{i-1} + \alpha_i \tilde{p} + \omega_i \tilde{s}$
22. $r_i = s - \omega_i t$
23. Если $\|r\|_2 / \|r_0\|_2 \leq Tol$
24. то КОНЕЦ (x_i – полученное решение)
25. Увеличить i

Оценка эффективности параллельных вычислений

Ускорение (*speedup*), получаемое при использовании параллельного алгоритма для ***p*** процессоров, по сравнению с последовательным вариантом выполнения вычислений, определяется величиной:

$$S_p(n) = T_1(n) / T_p(n) \quad (3)$$

где величина ***n*** используется для параметризации вычислительной сложности решаемой задачи и понимается как количество входных данных задачи.

Система, на которой проводились исследования:

CPU Intel i7, 4 cores, 3.4 GHZ, IvyBridge; ОП - DDR3, 16GB; NVIDIA GTX Titan Kepler, 6 GB, 2688 cores; HDD 2 Тб ; CUDA 8.0; ОС Windows 10;

Качесвто конечных элементов	Размерность матрицы	Количество загрузений	Ускорение
Хорошее качество	102717x102717	10	17.58884
Хорошее качество	1075461x1075461	10	15.82659
Плохое качество	15246x15246	10	1.60072
Плохое качество	11616x11616	10	1.27866

Решение обобщённой задачи на собственные значения

Для решения обобщенной задачи поиска собственных значений и векторов:

$$[A]\{x\} = \lambda[B]\{x\} \quad (4)$$

предлагается использовать следующее преобразование:

$$\begin{aligned} [B] &= [L][U] \\ [L]^{-1}[A][U]^{-1}\{y\} &= \lambda\{y\} \\ \{y\} &= [U]\{x\} \end{aligned} \quad (5)$$

Обратные матрицы для L и U находятся при решении матричных уравнений:

$$\begin{aligned} [L][X] &= [E] \\ [U][X] &= [E] \end{aligned} \quad (6)$$

$$\begin{aligned} [C] &= [L]^{-1}[A][U]^{-1} \\ [C]\{y\} &= \lambda\{y\} \end{aligned} \quad (7)$$

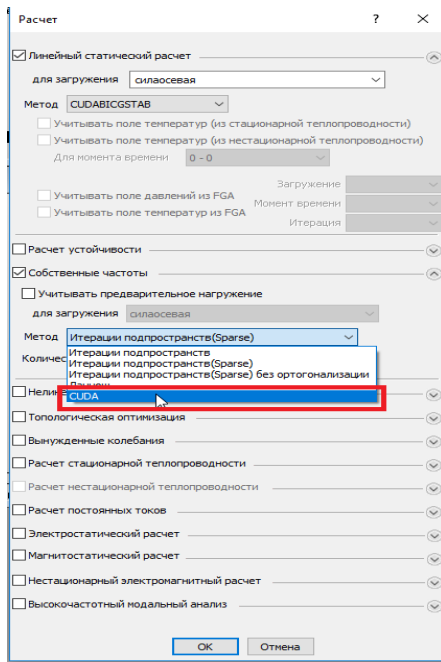
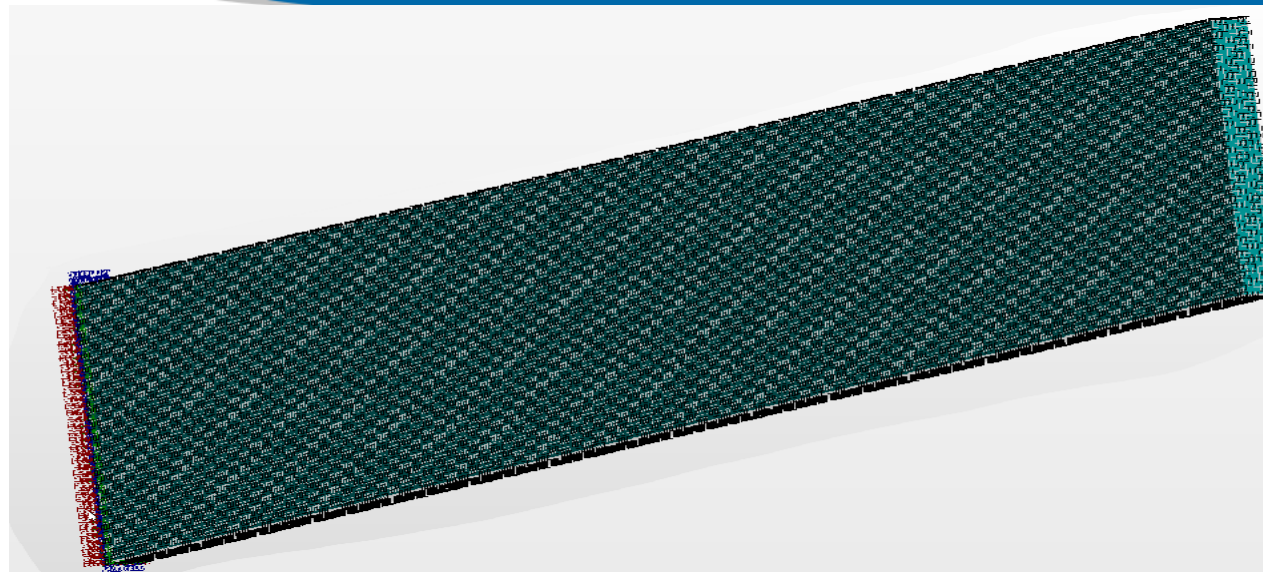
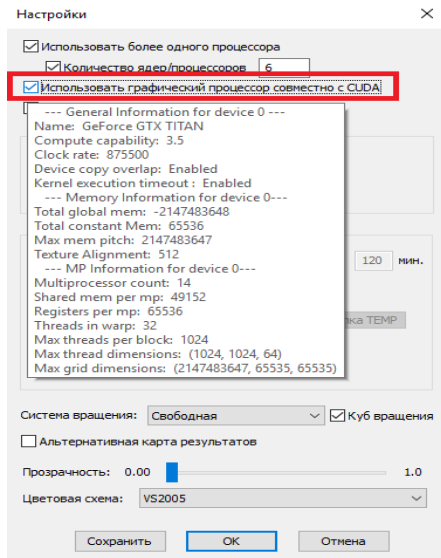
Решение обобщённой задачи на собственные значения

Нахождение приближенных значений собственных чисел:

$$\left\{ \begin{array}{l} \|\mathbf{v}^{(0)}\|_2 = 1; \\ [\mathbf{D}] = \{\mathbf{v}^{(0)}\} \{\mathbf{v}^{(0)}\}^T; \\ [\mathbf{C}] = [\mathbf{C}] - \lambda_{k-1} \{\mathbf{D}\}; \\ \left\{ \begin{array}{l} \{\omega\} = [\mathbf{C}] \{\mathbf{v}^{(i-1)}\}, \\ \{\mathbf{v}^{(i)}\} = \frac{\{\omega\}}{\|\omega\|_2}, \\ \lambda_k^{(i)} = \{\mathbf{v}^{(i)}\}^T [\mathbf{C}] \{\mathbf{v}^{(i)}\}, \\ 0 \leq i < 10; \\ \mathbf{v}^{(0)} = \mathbf{v}^{(i)}; \end{array} \right. \end{array} \right. \quad (8)$$

Метод обратных итераций со сдвигом:

$$\begin{aligned} ([\mathbf{A}] - \lambda_i^{(s)} [\mathbf{E}]) \{\mathbf{y}^{(s)}\} &= \{\mathbf{x}^{(s)}\}, \\ \lambda_i^{(s+1)} &= \lambda_i^{(s)} + \frac{x_k^{(s)}}{y_k^{(s)}}, \quad \{\mathbf{x}^{(s+1)}\} = \frac{\{\mathbf{y}^{(s)}\}}{\|\{\mathbf{y}^{(s)}\}\|}. \end{aligned} \quad (9)$$



Параметры вывода результатов

Тип расчета: Частоты собственных колебаний

Частота: 1 - 13.9883 Гц

☒ Карта результатов

Тип результатов: 2

☒ Объемные элементы

Положение карты: 5

Вид карты: Изг

Количество изоур: 9

Масштабный коэфф: 10

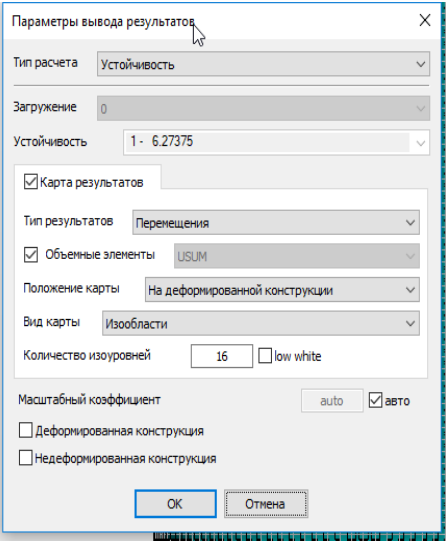
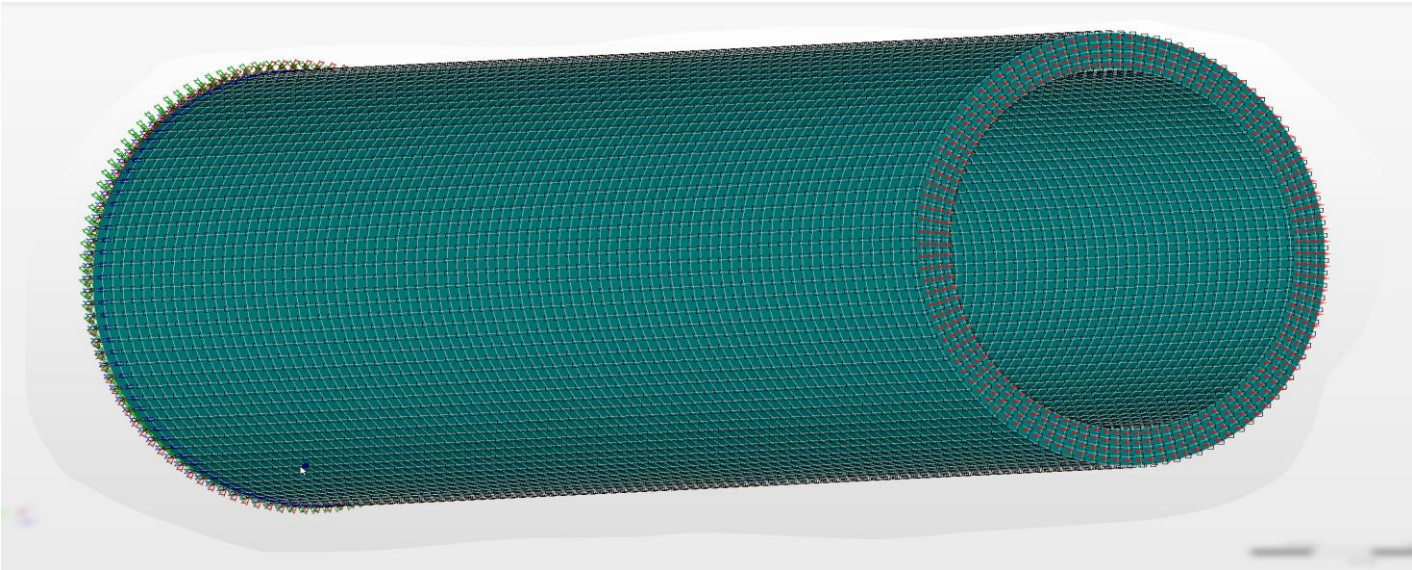
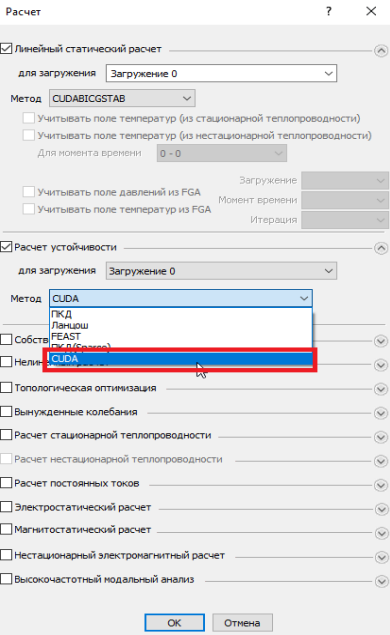
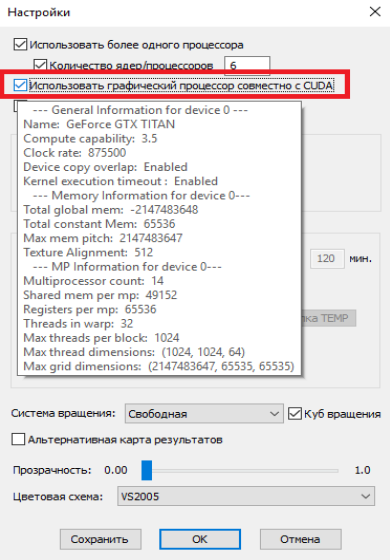
☐ Деформированная

☐ Недеформированная

№	Частота, Гц	м.м.X,%	с.м.м.X,%	м.м.Y,%	с.м.
1	13.9883	61.3	61.3	8.55e-23	8.55e-23
2	87.6042	18.9	80.1	1e-22	1.86e-22
3	136.19	9.09e-20	80.1	4.51e-21	4.69e-21
4	245.268	6.51	86.6	1.79e-21	6.48e-21
5	259.448	1.47e-18	86.6	1.52e-19	1.58e-19
6	480.723	3.34	90	1.92e-19	3.5e-19
7	782.526	1.19e-16	90	9.06e-18	9.41e-18
8	794.908	2.03	92	1.12e-15	1.13e-15
9	816.811	1.37e-19	92	1.38e-16	1.27e-16
10	1187.69	1.36	93.4	7.48e-13	7.49e-13
11	1317.99	2.36e-12	93.4	7.14e-12	7.89e-12
12	1658.75	0.977	94.3	3.84e-10	3.92e-10
13	1873.6	6.27e-10	94.3	2.19e-09	2.59e-09
14	2118.18	1.62e-10	94.3	81.1	81.1
15	2150.89	1.64e-09	94.3	2.58e-08	81.1
16	2207.46	0.735	95.1	6.42e-10	81.1
17	2456.43	1.46e-09	95.1	1.46e-09	81.1

$$\{X_0\} = \frac{1}{\sqrt{\{X_0\}^T [A] \{X_0\}}} \{X_0\}, \quad (10)$$

$$\begin{cases} \{X_i\} = \{X_i\} - \sum_{j=0}^{i-1} (\{X_j\}^T [A] \{X_i\} \{X_j\}), \\ \{X_i\} = \frac{1}{\sqrt{\{X_i\}^T [A] \{X_i\}}} \{X_i\}, \\ 1 \leq i < m. \end{cases} \quad (11)$$



Определение положительной определенности матрицы

Разложение Холецкого:

$$[A] = [L][L^T] \quad (12)$$

$$L_{ii} = \sqrt{A_{ii} - \sum_{k=1}^{i-1} L_{ik}^2}, \quad (13)$$

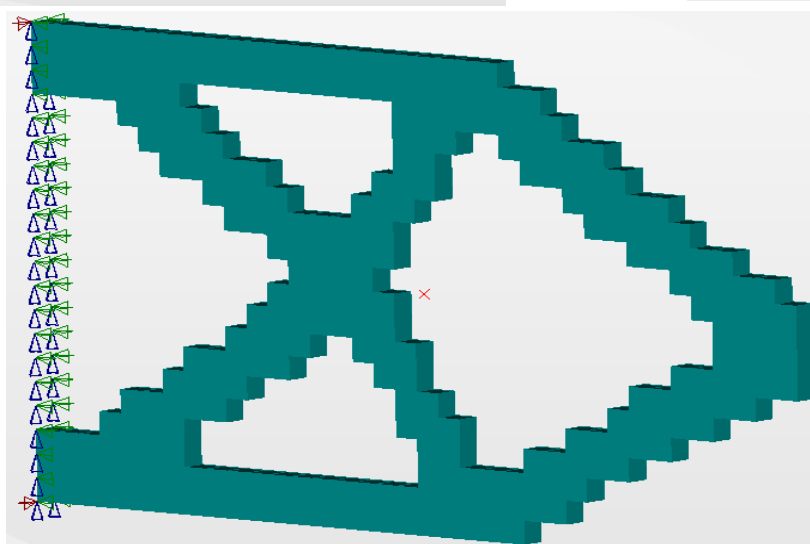
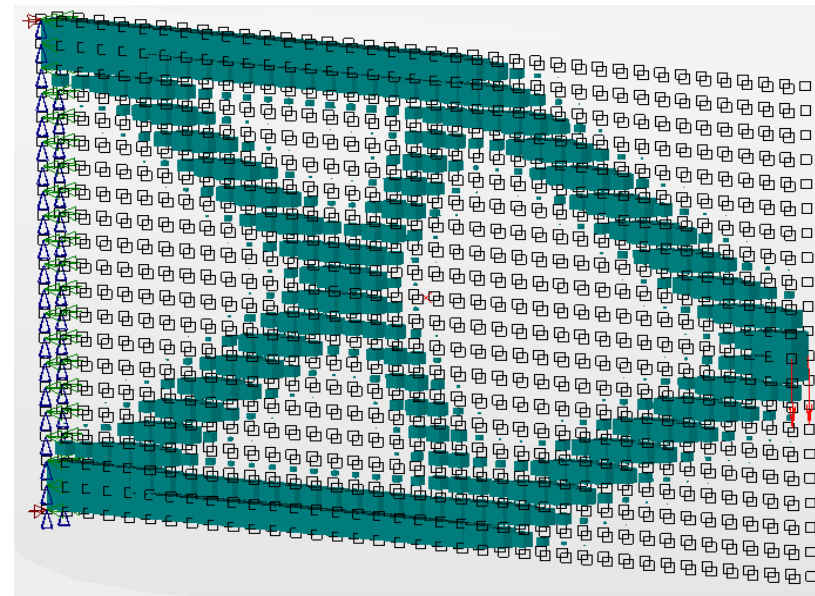
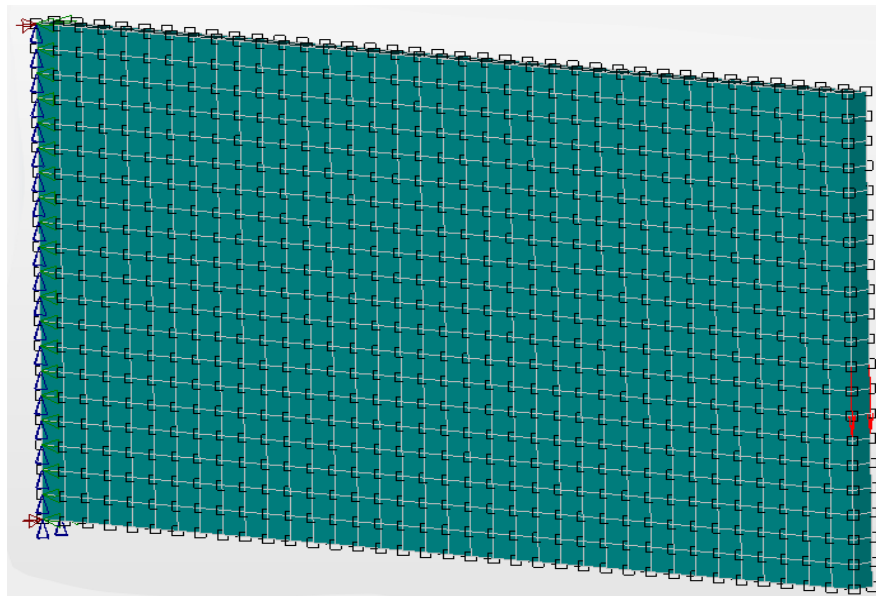
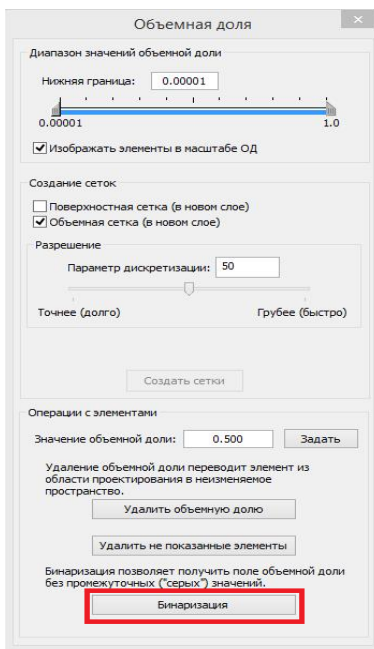
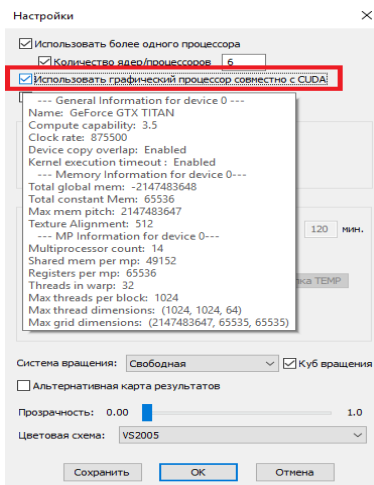
$$L_{ij} = \frac{1}{L_{jj}} \left(A_{ij} - \sum_{k=1}^{j-1} L_{ik} L_{jk} \right)$$

$$[A] + k * [B] = [L][L^T] \quad (14)$$

$$S_p(n) = T_1(n) / T_p(n)$$

Размерность матрицы	Количество ненулевых элементов матрицы	Ускорение, $S_p(n)$
15246x15246	315768	7.29824
11616x11616	312058	6.56842

Бинаризация серых изображений при топологической оптимизации



Метод Оцу

Пиксели классифицируются на 2 класса (“полезные” и “фоновые”). Метод Оцу ищет порог, уменьшающий дисперсию внутри класса, которая определяется как взвешенная сумма дисперсий двух классов:

$$\sigma_w^2(t) = q_1(t)\sigma_1^2(t) + q_2(t)\sigma_2^2(t) \quad (15)$$

Сначала вычисляется распределение гистограммы для изображения, а затем выполняется нормализация:

$$\begin{aligned} q_1(t) &= \sum_{i=1}^t P(i) & q_2(t) &= \sum_{i=t+1}^I P(i) \\ \mu_1(t) &= \sum_{i=1}^t \frac{iP(i)}{q_1(t)} & \mu_2(t) &= \sum_{i=t+1}^I \frac{iP(i)}{q_2(t)} \end{aligned} \quad (16)$$

Дисперсии для двух классов:

$$\sigma_1^2(t) = \sum_{i=1}^t [i - \mu_1(t)]^2 \frac{P(i)}{q_1(t)} \quad \sigma_2^2(t) = \sum_{i=t+1}^I [i - \mu_2(t)]^2 \frac{P(i)}{q_2(t)} \quad (17)$$

Полная дисперсия может быть определена уравнением в виде суммы дисперсии внутри класса и дисперсии между классами:

$$\sigma^2 = \sigma_w^2(t) + \sigma_b^2(t) \quad (18)$$

Минимизация дисперсии внутри класса равносильна максимизации дисперсии между классами:

$$\sigma_b^2(t) = q_1(t)q_2(t)[\mu_1(t) - \mu_2(t)]^2 \quad (19)$$

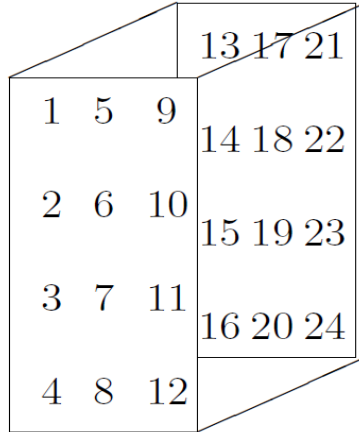
$$S_p(n) = T_1(n) / T_p(n)$$

Количество элементов	Ускорение, $S_p(n)$
315768	8.75788
312058	7.88209
2066993	9.26103
23142191	9.4462506

$$A = \left(\begin{array}{ccc|ccc} 1 & 5 & 9 & 13 & 17 & 21 \\ 2 & 6 & 10 & 14 & 18 & 22 \\ 3 & 7 & 11 & 15 & 19 & 23 \\ 4 & 8 & 12 & 16 & 20 & 24 \end{array} \right)$$

$$A_{M \times N} \rightarrow A_{m \times n \times r \times \dots \times z},$$

$$m \times n \times r \times \dots \times z = M \times N$$

$$A =$$


1	5	9	13	17	21
2	6	10	14	18	22
3	7	11	15	19	23
4	8	12	16	20	24

ТТ-формат тензора [1-3]:

$$A(i_1, i_2, \dots, i_d) \approx \sum_{\alpha_1, \dots, \alpha_d} G_1(i_1, \alpha_1) G_2(\alpha_1, i_2, \alpha_2) \dots G_{d-1}(\alpha_{d-2}, i_{d-1}, \alpha_{d-1}) G_d(\alpha_{d-1}, i_d) \quad (20)$$

$$A(i_1, \dots, i_d) = G_1(i_1) \dots G_d(i_d) \quad G_k(i_k) = [G_k(\alpha_{k-1}, i_k, \alpha_k)] \quad (21)$$

- 1) L. V. Oseledets, "Tensor-Train Decomposition", *SIAM J. Sci. Comput.* 2011, 33(5), 2295–2317
- 2) С.В. Долгов, "Алгоритмы и применения тензорных разложений для численного решения многомерных нестационарных задач", диссертация на соискание ученой степени к.ф.-м.н, Москва 2014
- 3) Patrick Gelß, "The Tensor-Train Format and Its Applications", dissertation zur Erlangung des akademischen Grades eines Doktors der Naturwissenschaften (Dr. rer. nat.), Berlin 2017

Алгоритм ТТ-разложения :

1. Вычислить норму: $\|A\|_F = \sqrt{\sum_{i_1, \dots, i_d} A^2(i_1, \dots, i_d)}$ $A \in \mathbb{R}^{n_1 \times n_2 \times \dots \times n_d}$
2. Вычислить размер первого ядра: $N_l = n_1, N_r = \prod_{k=2}^d n_k$
3. $M = A$. Свернуть M в: $M = M \in \mathbb{R}^{N_l \times N_r}$
4. Вычислить усеченное сингулярное разложение: $M \approx USV$ такое, что: $\sqrt{\sum_{k=r+1}^{\min(N_l, N_r)} \sigma_k^2} \leq \frac{\varepsilon \cdot \|A\|_F}{\sqrt{d-1}}$
5. $G_1 = U, M = SV^T, r_1 = r$
6. Цикл от $k = 2$ до $d - 1$.
7. Вычислить размер k -ого ядра: $N_l = n_k, N_r = \frac{N_r}{n_k}$
8. $M = M \in \mathbb{R}^{r N_l \times N_r}$
9. Вычислить усеченное сингулярное разложение: $M \approx USV$ такое, что: $\sqrt{\sum_{k=r+1}^{\min(N_l, N_r)} \sigma_k^2} \leq \frac{\varepsilon \cdot \|A\|_F}{\sqrt{d-1}}$
10. $G_k = U \in \mathbb{R}^{r_{k-1} \times n_k \times r_k}$
11. $M = SV$
12. $G_d = M^T$

```
A = rand(10^3, 10^3);
error = 10^(-15);
A_Tensor = reshape(A, 100,1,100,1,100);
ttA = tt_decomposition(A_Tensor,error);
```

A					
1000x1000 double					
	1	2	3	4	
1	0.8464	0.1946	0.2679	0.1312	
2	0.0514	0.9001	0.7362	0.9339	
3	0.0227	0.5615	0.6041	0.8116	
4	0.8694	0.6642	0.7733	0.7983	
5	0.0871	0.2267	0.2976	0.9029	
6	0.4870	0.4978	0.0228	0.5651	
7	0.2535	0.0328	0.4343	0.7690	
8	0.8939	0.7892	0.3128	0.6003	
9	0.1354	0.0816	0.6948	0.4755	
10	0.5045	0.0400	0.4000	0.0147	



A		
ttA		
5x1 cell		
1		
1	100x100 double	
2	100x1 double	
3	1x100x100 double	
4	100x1 double	
5	100x1 double	
6		

Матрица из миллиона элементов преобразуется в коллекцию из 20 тысяч элементов

Решение СЛАУ:

$$Ax = b,$$

$$\begin{aligned} x(i_1, \dots, i_d) &\approx \sum_{\alpha_1, \dots, \alpha_{d-1}} x_{\alpha_1}^{(1)}(i_1) x_{\alpha_1 \alpha_2}^{(2)}(i_2) \dots x_{\alpha_{d-2} \alpha_{d-1}}^{(d-1)}(i_{d-1}) x_{\alpha_{d-1}}^{(d)}(i_d), \\ b(i_1, \dots, i_d) &\approx \sum_{\beta_1, \dots, \beta_{d-1}} b_{\beta_1}^{(1)}(i_1) b_{\beta_1 \beta_2}^{(2)}(i_2) \dots b_{\beta_{d-2} \beta_{d-1}}^{(d-1)}(i_{d-1}) b_{\beta_{d-1}}^{(d)}(i_d), \\ A(i_1, \dots, i_d, j_1, \dots, j_d) &\approx \sum_{\gamma_1, \dots, \gamma_{d-1}} A_{\gamma_1}^{(1)}(i_1, j_1) A_{\gamma_1 \gamma_2}^{(2)}(i_2, j_2) \dots A_{\gamma_{d-1}}^{(d)}(i_d, j_d) \end{aligned} \quad (22)$$

Решаем маленькие подзадачи:

$$A^{(k)} x^{(k)} = b^{(k)} \quad (23)$$

Спасибо за внимание!

**Компания НТЦ «АПМ»
(научно-технический центр)
Московская область, г. Королев
Октябрьский бульвар, д. 14, офис 6
Тел.: (498) 600-25-10, (495) 514-84-19
Internet: www.apm.ru, www.cae.apm.ru
E-mail: com@apm.ru**